

ФИЛОГЕНЕТИЧЕСКИЕ СВЯЗИ ДАЛЬНЕВОСТОЧНЫХ АРАЛИЕВЫХ ПО РЕЗУЛЬТАТАМ СРАВНЕНИЯ ПОСЛЕДОВАТЕЛЬНОСТЕЙ ITS РЕГИОНА ЯДЕРНОЙ РДНК

© 2005 г. Е. В. Артюкова, А. А. Гончаров, М. М. Козыренко,
Г. Д. Реунова, Ю. Н. Журавлев

Биолого-почвенный институт Дальневосточного отделения Российской академии наук, Владивосток 690022;
факс: (4232)3101-93; e-mail: ibss@eastnet.febras.ru

Поступила в редакцию 17.08.2004 г.

У восьми видов семейства Araliaceae, произрастающих на территории российского Дальнего Востока, определены нуклеотидные последовательности ITS региона ядерной РДНК, сравнение которых позволило установить филогенетические связи дальневосточных видов с другими представителями семейства. Показано, что приморская и сахалинская популяции *Aralia elata* различаются между собой генетически и могут классифицироваться как внутривидовые таксоны; *A. continentalis*, как и *A. cordata*, относится к секции *Aralia sensu*, а виды *Oplopanax elatus* и *O. horridus* очень близки и, возможно, являются подвидами одного вида или относительно молодыми видами. Подтверждена правомерность выделения двух секций в пределах рода *Eleutherococcus*.

Реликтовое семейство аралиевых (Araliaceae) насчитывает, по разным сводкам, от 47 до 80 родов и от 900 до 1350 видов [1, 2]. Большей частью это крупные деревья, кустарники, редко кустарнички, полукустарники и многолетние корневищные травы. Пять из шести крупных родов, насчитывающих 50 и более видов, произрастают почти исключительно в тропиках и субтропиках [2]. Другие роды, обычно немногочисленные, распространены и в умеренной зоне, при этом наблюдается их приуроченность к приокеаническим территориям материков [2, 3]. Семейство Araliaceae не имеет до сих пор удовлетворительной системы [4]. Известно около десятка классификационных систем, в которых семейство подразделяется на трибы (от 3 до 10) на основе относительно небольшого числа определяющих морфологических признаков [2, 5–7]. Представители аралиевых характеризуются значительным морфологическим разнообразием и гомопластичностью признаков, что затрудняет внутри- и межродовую классификацию [2, 6]. В результате во многих системах явно близкие виды оказывались в разных трибах, или само семейство подразделялось на два, или включалось в качестве подсемейства в семейство Apiales в зависимости от того, какому признаку придавали больший вес. Описание новых видов, объединение и перегруппирование ранее описанных происходит до сих пор [8–12]. Все это свидетельствует, по-видимому, о том, что прежние системы недостаточно адекватно отражают эволюционную историю семейства и нуждаются в пересмотре [2]. Обычно аралиевые рассматривают как парафилетичес-

кую группу в составе порядка Apiales [2, 13], но недавние исследования филогенетических связей между видами этого порядка с использованием молекулярных ДНК-маркеров показали, что группа родов, традиционно выделяемая как Araliaceae, является монофилетичной [2, 14–17]. Также удалось прояснить филогенетические взаимоотношения в некоторых родах и между группами родов семейства Araliaceae [18–22].

На территории российского Дальнего Востока произрастают восемь видов из пяти родов семейства аралиевых [4]. Род *Aralia* представлен тремя видами, род *Eleutherococcus* – двумя, а роды *Kalopanax*, *Panax* и *Oplopanax* – одним видом каждый. *Aralia elata* (Miq.) Seem (аралия высокая) растет на южных островах Курильской гряды и Сахалине, юго-востоке Амурской области, в Приморском и Хабаровском краях, а также на территориях сопредельных государств – Китая, Кореи и Японии. Некоторые исследователи выделяли два вида: континентальный – аралия маньчжурская *A. mandshurica* Rupr. & Maxim. и островной – аралия высокая *A. elata* (Miq.) Seem. Виды травянистых аралий *A. cordata* Thunb. (аралия сердцевидная) и *A. continentalis* Kitag. (аралия материковая) очень сходны морфологически, однако первая растет только на островах, вторая – на материке [4, 23]. Первоначально травянистая аралия, произрастающая на материке, была описана В.Л. Комаровым как *A. cordata* [24], но ряд ботаников признавали за ней статус самостоятельного вида *A. continentalis* [1, 25, 26]. *Eleutherococcus senticosus* (Rupr. et Maxim.) Maxim. (элеутерокок колючий) широко распространен в лесах юга Амурской и

Сахалинской областей, на территории Хабаровского и Приморского краев, Японии и северо-восточных провинций Китая. Являясь одним из доминирующих видов подлеска, *E. senticosus* дальше всех аралиевых заходит на север. *E. sessiliflorus* (Rupr. et Maxim.) S.Y. Hu (элеутерококк сидячецветковый) морфологически близок *E. senticosus*, но встречается одиночно или небольшими группами и обладает несколько более узким ареалом [1, 4]. Обширный ареал *Kalopanax septemlobus* (Thunb.) Koidz. (калопанакса семилистного) охватывает почти всю Юго-Восточную Азию, включая юг Приморья, южные острова Курильской гряды и юг Сахалина [1, 27]. Области распространения женщины настоящего *Panax ginseng* C.A. Meyer и заманихи высокой *Oplopanax elatus* (Nakai) Nakai довольно ограничены: женщина представлена сегодня популяциями, произрастающими только на территории Приморья [4], а заманиха растет в южных районах Приморья, на северо-востоке Китая и севере Корейского полуострова [1].

Проведенные нами ранее исследования генетических взаимоотношений дальневосточных (ДВ) видов семейства Araliaceae методом RAPD (random amplified polymorphic DNA) показали, что дистанции между *E. sessiliflorus* и *E. senticosus* соответствуют межродовым, травянистые аралии *A. cordata* и *A. continentalis* являются разными видами, а *A. elata* (о. Сахалин) и *A. mandshurica* (Приморский край) не могут считаться самостоятельными видами [28].

В настоящей работе определены нуклеотидные последовательности внутреннего транскрибуируемого региона ядерной рибосомной ДНК (ITS региона) ДВ-представителей семейства Araliaceae и установлены их филогенетические связи с другими аралиевыми.

МАТЕРИАЛЫ И МЕТОДЫ

Растительный материал. Образцы растений семейства Araliaceae были взяты из природных популяций Приморского края (*A. mandshurica* Rupr.& Maxim. = *A. elata* var. *mandshurica*, *E. senticosus*, *E. sessiliflorus*, *K. septemlobus*, *P. ginseng*) и о. Сахалин (*A. elata*, *A. cordata*), а также из коллекций Ботанического сада ДВО РАН (*A. continentalis*) и Горнотаежной станции им. акад. В.Л. Комарова (*A. continentalis*, *O. elatus*).

Выделение и секвенирование ДНК. Общую ДНК выделяли из лиофильно высушенных листьев, используя ранее опубликованную методику [29]. Полная последовательность ITS региона рДНК, включающую 2 спейсера (ITS1 и ITS2) и ген 5.8S рРНК между ними, а также прилегающих к нему участков генов 18S рРНК и 28S рРНК, была амплифицирована с использованием праймеров N-nc18S10 и C26A [20]. Полимеразную цепную

реакцию (ПЦР) проводили в 25 мкл реакционной смеси, содержащей буфер [29], 25 нг геномной ДНК, 0.5 ед. *Taq*-полимеразы (ГНИИ Генетика, Москва), 0.2 мМ каждого из дезоксирибонуклеозидтрифосфатов и 0.2 мКМ каждого праймера. Температурный профиль ПЦР: 1 мин 94°C, 2 мин 50°C и 2 мин 72°C (35 циклов). Продукты ПЦР использовали для циклического секвенирования с набором Big Dye Terminator v.3.1 (Applied Biosystems) и шестью праймерами: N18L18, N-nc18S10, N5.8S, C26A, ITS2 и ITS4 [20]. Температурный профиль циклического секвенирования: 30 с 96°C, 15 с 55°C и 4 мин 60°C (25 циклов). Определение нуклеотидной последовательности ДНК обеих цепей (прямой и обратной) проводили на генетическом анализаторе ABI PRIZM 310 (Applied Biosystems). Последовательности собирали, используя пакет программ Staden Package [30], и затем были депонированы в GenBank (№ AJ786228-AJ786237).

Анализ нуклеотидных последовательностей и построение филогенетических деревьев. Для определения филогенетических связей ДВ-видов аралиевых с другими членами семейства из базы данных GenBank были выбраны последовательности ITS региона 84 видов (90 внутривидовых таксонов) 20 родов (таблица). Последовательности выравнивались вручную с использованием программы SeaView [31]. Филогенетический анализ проводили методами максимального правдоподобия (maximum likelihood, ML), ближайшего связывания (neighbour-joining, NJ), максимальной экономии (maximum parsimony, MP) и Бейеса (bayesian inference, BI), используя пакеты программ PAUP (версия 4.0b10 [32]) и MrBayes (версия 3.0b3 [33]). Дистанции для NJ-анализа рассчитывали через ML-оптимизацию. Выбор оптимальной модели эволюции нуклеотидных последовательностей (для ML- и NJ-анализов) проводили с помощью программы Modeltest (версия 1.05 [34]) с использованием иерархических тестов. Для ML- и MP-анализов применяли эвристический поиск оптимальной топологии и алгоритм branch-swapping: tree-bisection-reconnection. При BI-анализе создавали 1 млн. генераций цепей Маркова, из которых отбирали пробы каждые 100 генераций. Из полученных 10000 проб первые 500 исключали из анализа. Устойчивость полученных в NJ- и MP-анализах филогенетических деревьев оценивали методом бутстрепа [35], используя 1000 реплик, а в BI-анализе – с помощью апостериорных вероятностей (Posterior Probabilities, PP). В MP-анализе для каждой реплики бутстреп-анализа использовали опцию поэтапного добавления (10 эвристических поисков оптимальной топологии со случайным порядком добавления таксонов). Значения индекса бутстрепа (BP) менее 50% и PP менее 0.90 не рассматривались и не приведены на рисунке.

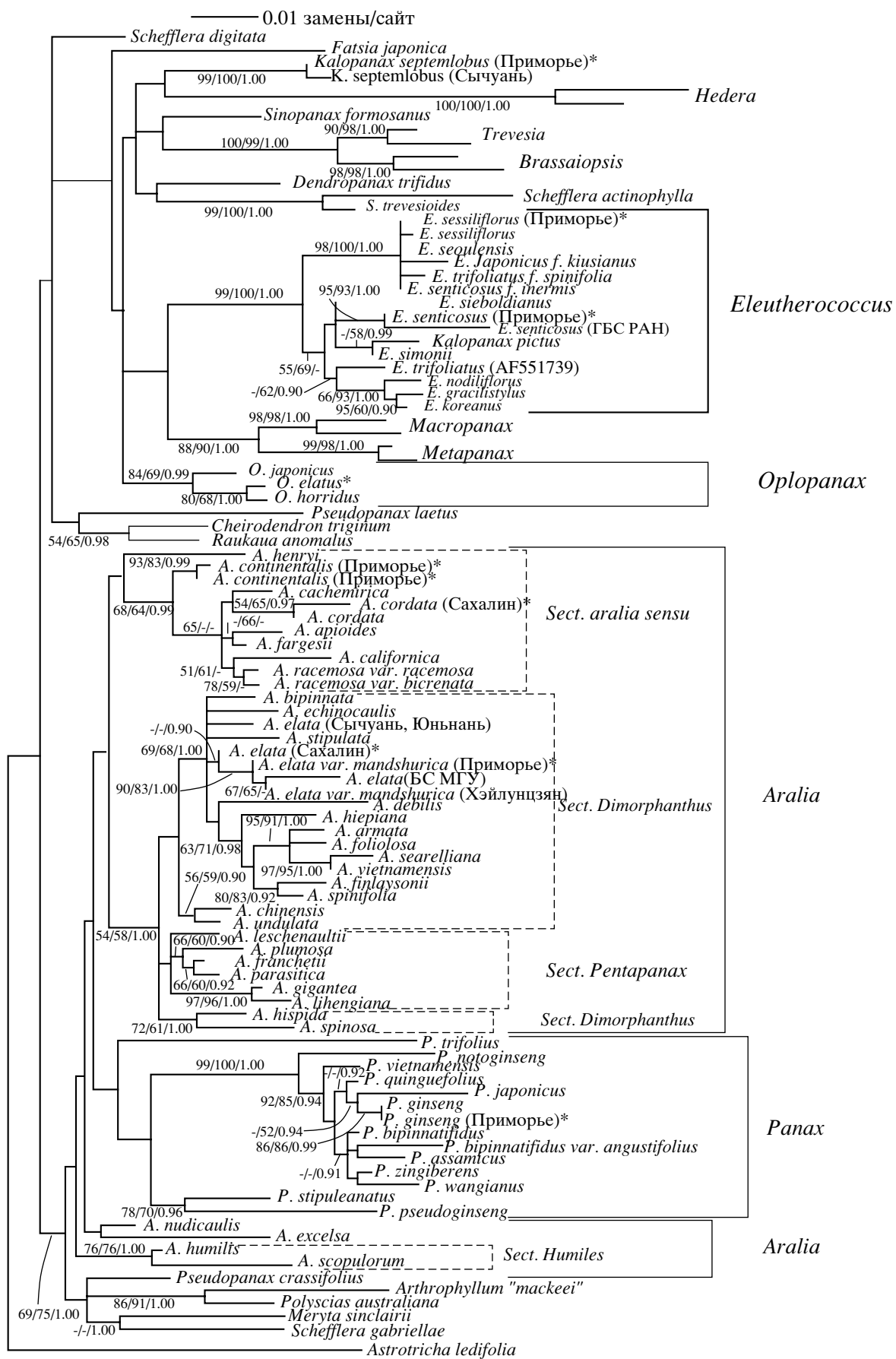
Виды семейства Araliaceae и номера последовательностей ITS участка депонированных в базе данных GenBank

Вид	GenBank, №
<i>Aralia apioides</i> Hand.Mazz.	U66704
<i>Aralia armata</i> (Wall.) Seem	AY233310
<i>Aralia bipinnata</i> Blanco	AF273519
<i>Aralia cachemirica</i> Decne.	U66706
<i>Aralia californica</i> S. Watson	U66920
<i>Aralia chinensis</i> L.	U63181
<i>Aralia continentalis</i> Kitag., изолят 1	AJ786231
<i>Aralia continentalis</i> Kitag., изолят 2	AJ786232
<i>Aralia cordata</i> Thunb.	U66922
<i>Aralia cordata</i> Thunb.	AJ786236
<i>Aralia debilis</i> J. Wen	AF273523
<i>Aralia echinocaulis</i> Hand.Mazz.	AF273524
<i>Aralia elata</i> (Miq.) Seem.	AF273526
<i>Aralia elata</i> (Miq.) Seem.	AF077875
<i>Aralia elata</i> (Miq.) Seem.	AJ786234
<i>Aralia elata</i> (Miq.) Seem. var. <i>mandshurica</i>	AF273528
<i>Aralia elata</i> (Miq.) Seem. var. <i>mandshurica</i>	AJ786233
<i>Aralia excelsa</i> (Griseb.) J. Wen [= <i>Sciadodendron excelsum</i> Griseb.]	AF242231
<i>Aralia fargesii</i> Franch.	U66924
<i>Aralia finlaysoniana</i> (Wall. ex Don) Seem.	AY233311
<i>Aralia foliolosa</i> Seem.	AY233312
<i>Aralia franchetii</i>	AY271909
<i>Aralia gigantea</i> J. Wen	AY233313
<i>Aralia henryi</i> Harms	U41672
<i>Aralia hiepiana</i> J. Wen & Lowry	AY233316
<i>Aralia hispida</i> Vent.	U66925
<i>Aralia humilis</i> Cav.	AF242230
<i>Aralia leschenaultii</i> (DC.) J. Wen [= <i>Pentapanax fragrans</i> (D. Don) Ha]	AY233317
<i>Aralia lihengiana</i> J. Wen, L.Deng & X. Shi	AY233315
<i>Aralia nudicaulis</i> L.	U41674
<i>Aralia parasitica</i>	AY233319
<i>Aralia plumosa</i> Li [= <i>Pentapanax plumosus</i> (Li) Shang]	AF242255
<i>Aralia racemosa</i> L. ssp. <i>racemosa</i>	U66926
<i>Aralia racemosa</i> L. ssp. <i>bicrenata</i>	U66929
<i>Aralia scopulorum</i> Brandegee	U66927.
<i>Aralia searelliana</i> Dunn	AF273532
<i>Aralia spinifolia</i> Merr.	U41676
<i>Aralia spinosa</i> L.	U66928
<i>Aralia stipulata</i> Franch	AF273535
<i>Aralia vietnamens</i> Ha	AF273541
<i>Aralia undulata</i> Hand.Mazz.	AF273539
<i>Arthrophyllum</i> "mackeei" Lowry ined.	U63182
<i>Astrotricha ledifolia</i> DC.	U63190
<i>Brassaiopsis glomerulata</i> Regel	AY256901
<i>Brassaiopsis ficifolia</i> Dunn	AF551722
<i>Cheirodendron trigynum</i> (Gaud.) A. Heller	U63183.
<i>Dendropanax trifidus</i> (Thunb.) Makino	AF242238
<i>Eleutherococcus gracilistylus</i> (W. W. Sm.) S. Y. Hu	AY548182
<i>Eleutherococcus koreanus</i> (Nakai) Nakai	AY548184
<i>Eleutherococcus japonicus</i> (Franch. & Sav.) Nakai f. <i>kiusianus</i>	AY548183

Таблица. Окончание

Вид	GenBank, №
<i>Eleutherococcus nodiflorus</i> (Dunn) S.Y. Hu	U63184
<i>Eleutherococcus senticosus</i> (Rupr. & Maxim.) Maxim.	AF077885
<i>Eleutherococcus senticosus</i> (Rupr. & Maxim.) Maxim.	AJ786230
<i>Eleutherococcus senticosus</i> f. <i>inermis</i> Kom.	AY548186
<i>Eleutherococcus seoulensis</i> (Nakai) S.Y. Hu	AY548187
<i>Eleutherococcus sessiliflorus</i> (Rupr. & Maxim.) S.Y. Hu	AF242252
<i>Eleutherococcus sessiliflorus</i> (Rupr. & Maxim.) S.Y. Hu	AJ786229
<i>Eleutherococcus sieboldianus</i> (Makino) Koidz.	AY548190
<i>Eleutherococcus simonii</i> (SimonLouis ex C.K. Schneid.) Hesse	AF242227
<i>Eleutherococcus trifoliatus</i> (L.) S.Y. Hu (L.) Merr.	AF551739
<i>Eleutherococcus trifoliatus</i> f. <i>spinifolia</i>	AY548191
<i>Fatsia japonica</i> (Thunb.) Decne. & Planch.	U63193
<i>Hedera helix</i> L.	AF242241
<i>Hedera helix</i> L. ssp. <i>hibernica</i> (G. Kirchn.) D. C. Mc Clint.	AF506079
<i>Kalopanax septemlobus</i> (Thunb.) Koidz.	AY256899
<i>Kalopanax septemlobus</i> (Thunb.) Koidz	AJ786228
<i>Kalopanax pictus</i> (Thunb.) Nakai	U63187
<i>Macropanax dispermus</i> (Bl.) Ktze.	AF229767
<i>Macropanax rosthornii</i> (Harms) C. Y. Wu ex Hoo	AF551738
<i>Meryta sinclairii</i> (Hook. f.) Seem.	U63194
<i>Metapanax davidii</i> (Franch.) Frodin ex J. Wen & Frodin	AF242233
<i>Metapanax delavayi</i> (Franch.) Frodin ex J. Wen & Frodin	AF242232
<i>Oplopanax elatus</i> (Nakai) Nakai	AJ786237
<i>Oplopanax horridus</i> (Seem.) Miq.	AF551740
<i>Oplopanax japonicus</i> (Nakai) Nakai	AF242248, AF242249
<i>Panax assamicus</i> J. Wen	AY233322
<i>Panax ginseng</i> C. A. Meyer	U41682
<i>Panax ginseng</i> C. A. Meyer	AJ786235
<i>Panax japonicus</i> C. A. Meyer	AY271918
<i>Panax notoginseng</i> (Burkill) F. H. Chen ex C. Y. Wu & K. M. Feng	AY271919
<i>Panax bipinnatifidus</i> (Seem.) H. L. Li	AY271911
<i>Panax pseudoginseng</i> Wall. var. <i>angustifolius</i> (Burkill) H. L. Li	AY271915
<i>Panax pseudoginseng</i> Wallich	U41693
<i>Panax quinquefolius</i> L.	U41689
<i>Panax stipuleanatus</i> H. T. Tsai & K. M. Feng	AY271922
<i>Panax trifolius</i> L.	U41698
<i>Panax vietnamensis</i> Ha & Grushv	AY271924
<i>Panax wangianus</i> S. C. Sun	U41691
<i>Panax zingiberens</i> C. Y. Wu & K. M. Feng	U41700
<i>Polyscias australiana</i> (F. Mueller) Philipson	AF229688
<i>Pseudopanax anomalous</i> (L&S) (WBS)	U63164
<i>Pseudopanax crassifolius</i> (A. Cunn.) C. Koch	U63168
<i>Pseudopanax laetus</i> (Kirk) Philipson	U63176
<i>Sinopanax formosanus</i> (Hayata) Li	AF229768
<i>Schefflera digitata</i> J. R. Forst. & G. Forst.	U63188
<i>Schefflera gabriellae</i> Baill.	AF229731
<i>Schefflera hypoleucoes</i> Harms [= <i>Schefflera trevesioides</i> Harms]	AF229732
<i>Schefflera actinophylla</i> (Endl.) Harms [= <i>Brassaia actinophylla</i>]	AF242245
<i>Trevesia palmata</i> Vis.	AF551735
<i>Trevesia baviensis</i> J. Wen, Q. H. Nguyen & T. H. Nguyen, ined.	AF551731

Примечание. Жирным шрифтом выделены виды, для которых получены последовательности в настоящей работе.



РЕЗУЛЬТАТЫ И ОБСУЖДЕНИЕ

Для ДВ-представителей семейства Araliaceae определены нуклеотидные последовательности ITS региона – участка ядерного рибосомного оперона, включающего два внутренних транскрибуемых спайсера, фланкирующих кодирующую последовательность 5.8S рРНК (ITS1-5.8S рРНК-ITS2), а также прилегающих к нему участков генов 18S рРНК и 28S рРНК. Чтобы оценить возможную внутривидовую вариабельность ITS региона, для *A. elata* var. *mandshurica*, *A. elata*, *K. septemlobus* и *A. continentalis* получены последовательности нескольких образцов из разных точек ареала. ITS регионы трех образцов *A. elata* var. *mandshurica* были идентичны между собой, как и последовательности разных образцов *A. elata* и *K. septemlobus*, поэтому только по одному представителю этих видов было включено в анализ. Два образца *A. continentalis* имели незначительные различия в ITS регионе (одна замена и один индель) и оба были использованы в анализе.

С целью установления родственных взаимоотношений ДВ аралиевых их ITS последовательности были объединены с имеющимися в базе данных GenBank последовательностями других представителей этого семейства. При выборе последовательностей из базы данных мы старались представить внутриродовое и внутривидовое разнообразие тех родов, к которым принадлежат дальневосточные виды. Всего 100 ITS последовательностей, длина которых варьировала от 591 до 613 пн и после выравнивания составила 623 позиции, было включено в анализ. ITS регион аралиевых отличался значительной гомогенностью по длине (608.82 ± 2.45 пн) при низкой частоте инделей. Содержание GC-оснований также было практически инвариантным ($60.39 \pm 1.03\%$). Наиболее адекватно полученный набор данных описывала TIMef-модель эволюции нуклеотидных последовательностей, дополненная гамма-параметром ($\Gamma = 0.4360$). Частоты двух типов замен, C \longleftrightarrow T и G \longleftrightarrow A, существенно выше (4.1954 и 2.3185 соответственно), чем других типов.

Надо отметить, что определенные нами последовательности ДВ-видов семейства, как правило, не были идентичны представленным в базе данных GenBank последовательностям этих же видов. Единственным исключением была последовательность ITS-региона ДНК *P. ginseng* синегорской популяции, полностью идентичная последовательностям в GenBank. Для этого вида характерна высокая консервативность ITS региона: из 10 последова-

тельностей дикорастущих растений и культивируемых сортов, представленных в базе данных, только 3 имели незначительные отличия – одну замену (C \longleftrightarrow T или G \longleftrightarrow A) или одну делецию. Различия между полученными нами и имеющимися в GenBank последовательностями для *A. elata* var. *mandshurica*, *A. cordata*, *E. sessiliflorus* и *K. septemlobus* ограничивались 2–4 заменами. Только для *A. elata* и *E. senticosus* они были более выражены (5–11 замен и инделей).

При анализе матрицы данных методами ML, NJ, MP и BI были получены сходные филогенетические деревья, различающиеся, как правило, положением на древе и статистической значимостью лишь некоторых ветвей. Как видно из результатов ML-анализа (рисунок), ДВ-виды семейства достоверно сгруппированы с другими представителями соответствующих родов. Взаимоотношения между таксонами семейства Araliaceae в основном согласуются с результатами других исследователей [2, 14, 17, 22]. При этом все включенные в анализ таксоны на филогенетическом дереве распределены в две основные группы. Первая группа, не имеющая статистической значимости, включала *Brassaiopsis*, *Dendropanax*, *Eleutherococcus*, *Fatsia*, *Hedera*, *Kalopanax*, *Macropanax*, *Oplopanax*, *Schefflera*, *Sinopanax*, *Trevesia* (группа “*Eleutherococcus-Dendropanax-Schefflera*” [2, 17]). Вторая группа с умеренной статистической поддержкой (69% и 75% BP для NJ и MP, 1.00 P P для BI-анализов), содержала *Aralia* (включая *Pentapanax* и *Sciadodendron*), *Meryta*, *Panax*, *Polyscias*, *Pseudopanax* (группа “*Aralia-Polyscias-Pseudopanax*” [2]). В целом статистическая значимость была невысокой, и некоторые клады разрешены только топологически. Это относится, прежде всего, к двум родам, *Aralia* и *Panax*, представленным наибольшим числом видов в наших анализах и формирующим единый кластер. Предыдущие исследования [22] уже показали родство этих двух родов, однако статистическая достоверность их общей ветви также была низкой (<50% BP). Возможно, это связано с относительно невысокой филогенетической информативностью ITS региона в семействе Araliaceae и достаточно высокой внутренней гетерогенностью последовательностей видов, образующих *Aralia/Panax* кластер. В этот кластер входят почти все включенные в наш анализ виды аралий, кроме *A. humilis* и *A. scopolorum* (обе с американского континента, секция *Humiles* Harms). Два вида, *A. nudicaulis* (секция *Nanae*) и *A. excelsa*, ранее выделяемая в отдельный монотипный род *Sciadodendron*, обра-

Филогенетическое дерево аралиевых, основанное на сравнении 100 ITS рДНК последовательностей методом максимального правдоподобия (TIMef + Г модель). Цифрами у ветвей указана их статистическая значимость, рассчитанная для NJ/MP/BI-анализов методом бутстрепа (NJ и MP) и с помощью апостериорных вероятностей (BI). Звездочкой выделены таксоны, ITS последовательности для которых определены в настоящей работе.

зуют базальную ветвь по отношению к остальным видам кластера, формирующим две главные линии – *Panax* и *Aralia*. В кладе рода *Panax* выделяются две устойчивые группы, соответствующие секциям *Panax* (99 и 100% BP для NJ- и MP-, 1.00 PP для BI-анализов) и *Pseudoginseng* (70 и 78% BP и 0.96 PP для BI-анализа) подрода *Panax* [36]. Существенная генетическая дивергенция *P. trifolius*, выделяемого в монотипный подрод *Trifolius*, а также *P. stipuleanatus* и *P. pseudoginseng*, формирующих секцию *Pseudoginseng*, обусловливает обосновленное положение этих таксонов на древе. Следует отметить, что монофилия рода *Panax* подтверждается несколькими морфологическими синапоморфиями и, как правило, не вызывает сомнений. *P. trifolius* хотя и имеет общие с другими видами рода синапоморфии, но существенно отличается от них по ряду палинологических и морфологических признаков и по молекулярным данным [20, 22] и занимает базальное положение в кладе рода *Panax* (рисунок), что подтверждает независимое положение этого вида в системе комплекса *Aralia/Panax* [20, 37].

Исследуемый образец *P. ginseng* синегорской популяции, как и ожидалось, достоверно включался в состав секции *Panax*, образуя сестринскую пару с *P. japonicus* (52% BP для MP-, 0.94 PP для BI-анализов).

Ядро рода *Aralia* формируется из двух клад: первую составляют виды секции *Aralia sensu* Wen [22], а вторую – виды двух секций – *Dimorphanthus* Miq. и *Pentapanax* (Seem.) J. Wen, монофилия которых не установлена в нашем анализе. Подобная филогенетическая топология рода *Aralia*, в которой секции выделяются в виде соответствующих клад (*Dimorphanthus + Pentapanax*, *Aralia*, *Humiles*, *Nanae*), была получена ранее при исследовании комплекса *Aralia-Panax*, однако родство их также не определено [22].

Положение ДВ-видов аралий на древе соответствует их секционной принадлежности. Виды *A. continentalis* и *A. cordata* вместе с другими видами травянистых аралий входят в состав клады *Aralia sensu*, а образцы *A. elata* – в кладу секций *Dimorphanthus + Pentapanax*. Секция *Aralia sensu* Wen характеризуется наличием нескольких морфологических синапоморфий, например, третичносложные листья, терминальные и боковые соцветия [21], свойственных и *A. continentalis*, и *A. cordata* [23]. Поскольку эти два вида характеризуются высоким морфологическим сходством и отличаются только некоторыми деталями строения соцветия и размерами растения [23], можно было ожидать, что они будут близкородственными и по данным молекулярной филогении. Однако морфологическая близость слагающих секцию видов не всегда отражает генетические дистанции между ними. Дивергенция ITS региона

между *A. continentalis* и *A. cordata* (1.61%) соизмерима с дивергенцией между другими видами секции, например, 1.61% между *A. racemosa* и *A. californica* или 1.44% между *A. cordata* и *A. cachemirica* или *A. cordata* и *A. fargensis*. Несмотря на это аралия материковая обычно была одной из базальных ветвей клады секции *Aralia* (64% и 6.8% BP для NJ- и MP-, 0.99 PP для BI-анализов), в то время как *A. cordata* всегда входила в состав ее ядра. Результаты наших анализов показывают, что принадлежность *A. continentalis* к секции *Aralia* подтверждается также молекулярными синапоморфиями и вполне обоснована.

Исследуемые образцы аралии высокой группируются с образцами видов другой секции рода – *Dimorphanthus*, образуя вместе с четырнадцатью из восемнадцати таксонов этой секции умеренно поддержанную монофилетическую группу (68 и 69% BP-, для NJ- и MP-, 1.00 PP для BI-анализов), взаимоотношения между видами внутри которой остаются слабо разрешенными. Эта группа вместе с *A. undulata* и *A. chinensis* составляет монофилетическую субкладу восточноазиатских видов секции *Dimorphanthus*, а два североамериканских вида этой секции, *A. hispida* и *A. spinosa*, образуют отдельную базальную ветвь в устойчивой кладе *Dimorphanthus + Pentapanax* (54% и 5.8% BP для NJ- и MP-, 1.00 PP для BI-анализов). *A. elata* – полиморфный вид, широко распространенный в Азии, который иногда объединяют с *A. stipulata* под названием *Aralia chinensis sensu* [38]. Растения аралии высокой, растущие на территории Приморья, отличаются от растений с о. Сахалин величиной зубцов по краю листа и длиной черешочков листочек, количеством шипов на стволах и ветках, величиной и плотностью соцветий, в связи с чем некоторые авторы рассматривали их как разные виды, а в последние годы – считают разновидностями одного вида: *A. elata* var. *mandshurica* и *A. elata* [4, 29]. Образцы *A. elata* var. *mandshurica* (Приморье и провинция Хэйлунцзян, КНР) и *A. elata* (БС МГУ [39]) образуют статистически достоверную группу (90% и 8.3% BP для NJ- и MP-, 1.00 PP для BI-анализов). Наш образец *A. elata* (Сахалин) хотя и образует один кластер с этой группой, однако статистическая значимость такой топологии невелика (0.90 PP для BI-анализа). Филогенетическую связь четырех образцов этого кластера и *A. elata* из юго-западных китайских провинций Сычуань (AF273526) и Юньнань (AF273527), чьи ITS последовательности идентичны между собой, нам установить не удалось. Генетическая дифференциация образцов *A. elata* из удаленных друг от друга местообитаний (Хэйлунцзян–Приморье–Сахалин и Сычуань–Юньнань), возможно, указывает на существование криптических видов. Кроме того, наши результаты подтверждают наличие генетической дивергенции между приморской и сахалинской популяциями *A. elata*, следовательно,

эти популяции могут классифицироваться как внутривидовые таксоны.

Остальные четыре ДВ-вида аралиевых также кластеризуются с видами своих родов. Эти роды входят в состав второго крупного, не имеющего статистически значимой поддержки, кластера, объединяющего группу аралиевых с пальчатосложными и/или пальчатолопастными листьями. Этот кластер соответствует группе “Asian palmate” или “*Eleutherococcus–Dendropanax–Scheflera*” [2, 17]. В нашем анализе наиболее представительным из этой группы является род *Eleutherococcus* (12 таксонов), который включает около 35 [11] или 25 [12] видов кустарников, распространенных преимущественно в Северо-Восточной Азии и характеризующихся наличием шипов, пальчатосложными листьями и пятимерными цветками с двумя–пятью плодолистиками [11, 12]. ДВ представители этого рода, *E. senticosus* и *E. sessiliflorus*, имеют перекрывающиеся ареалы, внешне похожи, но отличаются габитусом, некоторыми особенностями соцветия и количеством шипов [1, 4]. Ранее некоторые ботаники относили их к разным родам – *Eleutherococcus* Maxim. и *Acanthopanax* (Decaisne & Planchon) Witte, но современные систематики объединяют эти два рода в один, который, согласно принятой ICBN номенклатуре, называется *Eleutherococcus* [40]. Для рода в целом свойственна высокая вариабельность морфологических признаков, пределы индивидуальной изменчивости которых перекрывают межвидовую изменчивость [11]. Представители рода *Eleutherococcus* s.l. формируют устойчивую группу (99 и 100% ВР для NJ- и MP-, 1.00 PP для BI-анализов), которая разделяется на две субклады. Исследуемые образцы *E. senticosus* и *E. sessiliflorus* входят в состав разных субклад, группируясь с одноименными и родственными им видами из других районов Азии. Дивергенция видов в устойчивой субклade (98 и 99% ВР для NJ- и MP-, 1.00 PP для BI-анализов), включающей *E. sessiliflorus*, очень незначительна (0–0.32%). Три таксона – *E. sessiliflorus* (Приморье), *E. seoulensis* и *E. senticosus* f. *inermis*, имеют идентичные ITS последовательности, и можно предположить, что в действительности они представляют один морфологически полиморфный вид. *E. senticosus* (исследуемый образец) входит в состав менее поддержанной (55% и 69% ВР для NJ- и MP-анализов) субклады рода, куда был отнесен и другой образец (из ГБС РАН) типовой формы этого вида. Примечателен тот факт, что *E. senticosus* f. *inermis* не входит в состав этой субклады. В разных субкладах оказались также и две формы *E. trifoliatus*. В обоих случаях разные формы одного вида характеризуются относительно высокой дивергенцией (3.53 и 3.21% соответственно), что ставит вопрос о необходимости уточнения их статуса в роде и значимости морфологических признаков, на основании

которых они были описаны. С другой стороны, низкая дивергенция видов в первой ветви (количество замен и/или инделей не превышало пяти) может указывать на близкое родство этих образцов, возможно, на уровне форм или разновидностей одного вида. Достоверное разделение видов рода *Eleutherococcus* на две субклады, по-видимому, является следствием существующей генетической дифференциации между ними и может служить подтверждением правомерности выделения двух секций (*Eleutherococcus* и *Acanthopanax*) в пределах этого рода, что согласуется с результатами сравнительного изучения структуры древесины [6].

В состав второй субклады кроме видов рода *Eleutherococcus* входит и *Kalopanax pictus* (U63187). Род *Kalopanax* Miq., согласно современной классификации, представлен одним видом *K. septemlobus*. Синонимами *K. septemlobus* в разное время были *K. pictus* (Thunb.) Nakai, *K. ricinifolius* (Sieb. & Zucc.) Miq., *Acer septemlobum* Thunb. Однако положение *K. septemlobus* и *K. pictus* на древе (рисунок) явно указывает на дальнее родство этих образцов. Представители родов *Eleutherococcus* и *Kalopanax* обладают несколькими общими морфологическими признаками: наличие шипов, пятимерный цветок и др., которые, однако, являются гомопластическими в семействе аралиевых. В то же время форма листьев (простые пальчато-5-7-(9)-лопастные у калопанакса и 3-5-пальчатосложные листья у элеутерококков) отличает эти роды. RAPD-анализ приморских популяций видов *K. septemlobus*, *E. senticosus* и *E. sessiliflorus* показал, что генетические дистанции между *K. septemlobus* и каждым из двух видов рода *Eleutherococcus* существенно выше (0.421 и 0.459 соответственно), чем между *E. senticosus* и *E. sessiliflorus* (0.367) и между видами родов *Aralia* и *Panax* [28]. ITS последовательность *K. pictus* (происхождение образца неизвестно) существенно отличается (30 замен) от последовательностей остальных образцов рода, причем дивергенция между ДВ-образцами *K. septemlobus* и экземпляром из провинции Китая Сычуань невелика, и они образуют отдельную ветвь дерева (рисунок), которая группируется с представителями рода *Hedera*, однако достоверность этой ассоциации низка. Можно сказать, что родство *K. septemlobus* с другими аралиевыми до сих пор не установлено, поскольку в анализах, использующих различные филогенетические маркеры и наборы данных, этот вид кластеризуется либо с *Macropanax/Metapanax* кладой [2, 9], либо с *Hedera helix* [14, 16]. Поэтому говорить о монофилии родов *Kalopanax* и *Eleutherococcus*, как полагают корейские учёные [27], пока преждевременно.

Представителям рода *Oplopanax*, как и *K. septemlobus*, свойственны простые пальчато-5-7-(9)-лопастные листья и они также входят в состав

второго основного кластера. При этом восточноазиатский вид *O. elatus* образует сестринскую пару с североамериканским видом *O. horridus* (68 и 80% ВР для NJ- и MP-, 1.00 РР для BI-анализов), а *O. japonicus* занимает базальное по отношению к ним положение. *O. elatus* и *O. horridus* очень сходны морфологически, и первоначально заманиха, найденная в Северной Корее, а позднее в Приморье, была описана как *Echinopanax horridus* (синоним *O. horridus*) вследствие ее внешнего сходства с известным североамериканским видом. Некоторые авторы рассматривают *O. japonicus* (Nakai) Nakai и *O. elatus* как подвиды *O. horridus* [41]. Действительно, ITS регион *O. elatus* отличается от последовательности *O. horridus* всего тремя заменами и одним инделем, а дивергенция этих видов с *O. japonicas* несколько выше: 8–9 замен и 2–3 инделя. Достаточно высокая генетическая близость американского и дальневосточного таксонов может служить подтверждением того, что *O. elatus* и *O. horridus* являются подвидами одного вида или относительно молодыми видами.

Таким образом, сравнение нуклеотидных последовательностей внутреннего транскрибуируемого спайсера ядерной рибосомной ДНК дальневосточных представителей семейства Araliaceae позволило достоверно установить их филогенетические связи с другими представителями семейства: *Aralia continentalis*, как и *A. cordata*, относится к секции *Aralia sensu*; приморская и сахалинская популяции *A. elata* различаются между собой генетически и могут классифицироваться как внутривидовые таксоны; *Oplopanax elatus* и *O. horridus* очень близки и, возможно, являются подвидами одного вида или относительно молодыми видами. Выявленная генетическая дифференциация видов рода *Eleutherococcus* подтверждает правомерность выделения двух секций в пределах этого рода, в состав которых не входит *Kalopanax septemlobus*. Кроме того, полученные результаты показывают, что морфологические признаки, используемые в систематике аралиевых, не всегда адекватно отражают генетические дистанции между таксонами.

Авторы выражают искреннюю благодарность д.б.н. Манько Ю.И. и к.б.н. Музарок Т.И. (БПИ ДВО РАН), к.б.н. Прилуцкому А.Н. (Бот. сад ДВО РАН) и к.б.н. Остроградскому П.Г. (Горнотаежная станция им. акад. В.Л. Комарова) за помощь в сборе материала.

Работа была частично поддержана финансированием Программ фундаментальных исследований Президиума РАН (контракты № 100022-51/П 2-4/1 543-92/2 904041-69, № 041-ОБН0-34, № 041-П120-33).

СПИСОК ЛИТЕРАТУРЫ

- Сосудистые растения советского Дальнего Востока / Под ред. С.С. Харкевича. Л.: Наука, 1987. Т. 2. С. 195–203.
- Plunkett G.M. Wen J., Lowry II P.P. Infrafamilial classifications and characters in Araliaceae: insights from the phylogenetic analysis of nuclear (ITS) and plastid (trnL-trnF) sequence data // Plant Syst. Evol. 2004. V. 245. P. 1–39.
- Грушвицкий И.В. Семейство аралиевые (Araliaceae) // Жизнь растений. М.: Просвещение, 1981. Т. 5. Ч. 2. С. 297–302.
- Журавлёв Ю.Н., Коляда А.С. Araliaceae: женщень и другие. Владивосток: Дальнаука, 1996. 280 с.
- Тахтаджян А.Л. Система магнолиофитов. Л.: Наука, 1987. 439 с.
- Оскольский А.А. Анатомия древесины аралиевых. С.-Пб., 1994. 106 с.
- Грушвицкий И.В., Скворцова Н.Т., Ха Тхи Зунг, Араутов Н.Н. Конспект семейства Araliaceae Juss. флоры Вьетнама. Новости систематики высших растений. Л. 1985. Т. 22. С. 153–191.
- Скворцова Н.Т., Аверьянов Л.В. Новый род и вид – *Grushvitzkya stellata* (Araliaceae) из северного Вьетнама // Бот. журн. 1994. Т. 79. № 7. С. 108–112.
- Wen J., Lee Ch., Lowry P.P. II, Hiep N.T. Inclusion of the Vietnamese endemic genus *Grushvitzkya* in *Brassaiopsis* (Araliaceae): evidence from nuclear ribosomal ITS and chloroplast ndh F sequences // Bot. J. Linn. Soc. 2003. V. 142. P. 445–463.
- Mitchell A.D., Frodin D.G., Heads M.J. Reinstatement of *Raukaua* Seem., a genus of the Araliaceae centred in New Zealand // New Zealand J. Bot. 1997. V. 37. P. 205–211.
- Kim C.H., Sun B.-Y. New Taxa and Combinations in *Eleutherococcus* (Araliaceae) from Eastern Asia // Novon. 2000. V. 10. № 3. P. 209–214.
- Yunfei D. *Eleutherococcus humillimus*, a new combination in chinese Araliaceae // Novon. 2003. V. 13. P. 305–306.
- Thorne R. F. Proposed new realignments in the angiosperms // Nord. J. Bot. 1983. V. 3. P. 85–117.
- Plunkett G.M., Soltis D.E., Soltis P.S. Clarification of the relationship between Apiaceae and Araliaceae based on matK and rbcL sequence data // Amer. J. Bot. 1997. V. 84. P. 565–580.
- Plunkett G.M. Relationships of the order Apiales to subclass Asteridae: a revaluation of morphological characters based on insights from molecular data // Edinburgh J. Bot. 2001. V. 58. P. 183–200.
- Chandler G.T., Plunkett G.M. Evolution in Apiales: nuclear and chloroplast markers together in (almost) perfect harmony // Bot. J. Linn. Soc. 2004. V. 144. P. 123–147.
- Wen J., Plunkett G.M., Mitchell A.D., Wagstaff S.J. The evolution of Araliaceae: a phylogenetic analysis based on ITS sequences of nuclear ribosomal DNA // Syst. Bot. 2001. V. 26. № 1. P. 144–167.
- Costello A., Motley T. Molecular systematics of Tetraplasandra, Munroidendron and *Reynoldsia sandwicensis* (Araliaceae) and the evolution of superior ovaries in Tet-

- raplasandra // Edinburgh J. Bot. 2001. V. 58. P. 229–242.
19. Mitchell A.D., Wagstaff S.J. Phylogenetic relationships of *Pseudopanax* species (Araliaceae) inferred from parsimony analysis of rDNA sequence data and morphology // Plant Systematics and Evolution. 1997. V. 208. P. 121–138.
20. Wen J., Zimmer E.A. Phylogeny and biogeography of *Panax* L. (the ginseng genus, Araliaceae): inferences from ITS sequences of nuclear ribosomal DNA // Mol. Phylogen. Evol. 1996. V. 6. № 2. P. 167–177.
21. Wen J., Shi S., Jansen R.K., Zimmer E.A. Phylogeny and biogeography of *Aralia* sect. *Aralia* (Araliaceae) // Amer. J. Bot. 1998. V. 85. № 6. P. 866–875.
22. Wen J. Evolution of the *Aralia–Panax* complex (Araliaceae) as inferred from nuclear ribosomal ITS sequences // Edinburgh J. Bot. 2001. V. 58. P. 243–257.
23. Остроградский П.Г. Аралии российского Дальнего Востока. Владивосток: Дальнаука, 2003. 114 с.
24. Комаров В.Л. Флора Маньчжурии. Ч. 3 // Избр. соч. Т. 5. М.Л.: АН СССР. 1950. 814 с.
25. Черепанов С.К. Сосудистые растения СССР. Л.: Наука, 1981. 510 с.
26. Kitagawa M. Contributio ad cognitionem florae Manshuriae. (VI) // Botanical Magazine/Tokyo. 1935. V. 49. № 580. P. 222–234.
27. Chang C.S., Kim H., Kang H.S., Lee D.K. A morphometric analysis of the eastern Asian *Kalopanax septemlobus* (Thunb.) Koidz. (Araliaceae) // Bot. Bull. Acad. Sin. 2003. V. 44. P. 337–344.
28. Журавлев Ю.Н., Артюкова Е.В., Козыренко М.М., Реунова Г.Д. Изучение генетических связей между дальневосточными видами семейства Araliaceae методом RAPD // Генетика. 2003. Т. 39. № 1. С. 5763. (Zhuravlev Yu.N., Artyukova E.V., Kozyrenko M.M., Reunova G. D. Genetic Relationships among Far Eastern Species of the Family Araliaceae Inferred by RAPD Analysis // Rus. J. Genetics. 2003. V. 39. № 1. P. 4651.)
29. Реунова Г.Д., Артюкова Е.В., Козыренко М.М. и др. Применение метода полимеразной цепной реакции с участием произвольных праймеров для выявления геномного полиморфизма женьшения (*Panax ginseng* C.A. Mey.) // Биотехнология. 1996. № 3. С. 13–18.
30. Bonfield J., Beal K., Jordan M. et al. Staden Package v1.4. <http://www.mrc-lmb.cam.ac.uk/publishseq/>.
31. Galtier N., Gouy M., Gautier C. SeaView and Phylo win, two graphic tools for sequence alignment and molecular phylogeny // Comput. Applic. Biosci. 1996. V. 12. P. 543–548.
32. Swofford D.L. PAUP* 4.0 – Phylogenetic analysis using parsimony (*and other methods). 1998. Sunderland, MA Version 4.0 beta.
33. Huelsenbeck J.P., Ronquist F. MRBAYES: Bayesian inference of phylogeny // Bioinformatics. 2001. V. 17. P. 754–755.
34. Posada D., Crandall K.A. Modeltest: Testing the model of DNA substitution // Bioinformatics. 1998. V. 14. P. 817–818.
35. Felsenstein J. Confidence limits on phylogenies: an approach using the bootstrap // Evolution. 1985. V. 39. P. 783–791.
36. Wen J. Species diversity, nomenclature, phylogeny, biogeography, and classification of the ginseng genus (*Panax* L., Araliaceae) // Utilization of biotechnological, genetic and cultural approaches for North American and Asian ginseng improvement. Proceedings of the International Ginseng Workshop 2001 (Proc. Int. Ginseng Wp.). Vancouver: Simon Fraser University Press, 2001. P. 69–72.
37. Wen J. Evolution of eastern Asian eastern North American disjunct distributions in flowering plants // Annu. Rev. Ecol. Syst. 1999. V. 30. P. 421–455.
38. Li H.–L. The Araliaceae of China // Sargentia. 1942. V. 2. P. 11–34.
39. Вальехо–Роман К.М., Пименов М.Г. и др. Молекулярная систематика Umbelliferae: использование последовательностей внутренних транскрибуемых спайсеров ядерной рибосомной ДНК для выяснения эволюционных отношений // Бот. журн. 1998. Т. 83. № 7. С. 122. (ValiejoRoman K.M., Pimenov M.G., Terentjeva E.I. et al. Molecular systematics of Umbelliferae: using nuclear rRNA internal transcribed spacer sequences to resolve issues of evolutionary relationships // Bot. Z. 1998. V. 83. № 7. P. 1–22.)
40. International Code of Botanical Nomenclature (Saint Louis Code) / Eds. Greuter W., McNeill J., Barrie F.R. et al. 2000. Regnum Veg. 138.
41. Lantz T.C., Swerhun K., Turner N.J. Devil's club (*Oplapanax horridus*): an ethnobotanical review // Herbal-Gram. 2004. V. 62. P. 3348.